论著

CT在甲状腺炎性结节与甲状腺癌鉴别诊断中的价值

广东省清远市英德市人民医院影像 中心(广东 清远 513000)

梁树生 莫永灿

【摘要】目的 探讨CT在甲状腺炎性结节 与甲状腺癌鉴别诊断中的价值。方法 收 集本院2012年3月至2017年10月间12例甲 状腺炎性结节及23例甲状腺癌病例,对两 类病变的形态、大小、边缘、位置、结节 内部情况、数目、钙化、周围间隙、淋巴 结肿大及密度、强化程度等进行分析及测 算,对比两种病变CT征象的差异性。结果 甲状腺炎多有弥漫性肿大, 其结节边缘模 糊、多发、形态规则、少钙化或为粗大钙 化、少囊变、多累及峡部、颈部淋巴结肿 大不明显、多为强化均匀且延时强化。甲 状腺癌多为边界不清、形态不规则、单 发、细颗粒状或针尖样钙化、多见坏死囊 变、少累及峡部、颈部淋巴结肿大、密度 不均匀、明显不均匀强化,可见"咬饼 征"或"轮廓连线中断征"、"孤岛征" 等。甲状腺炎性结节与甲状腺癌病灶在年 龄、性别、边缘、病灶最大径没有明显 差别(P>0.05)。在病灶形态、数目、囊 变、钙化、峡部累及情况、颈部淋巴结肿 大方面及强化情况(均匀程度)等存在明显 不同,差异有统计学意义(P<0.05)。结 论 CT在甲状腺炎性结节与甲状腺癌鉴别 诊断中的有较高价值, 值得在临床工作中 推广应用。

【关键词】甲状腺癌; 甲状腺炎; 炎性结节; 体层摄影术; X线计算机

【中图分类号】R736.1; R445.3

【文献标识码】A

DOI: 10.3969/j.issn.1672-5131.2018.11.012

通讯作者: 梁树生

The Value of CT in the Differential Diagnosis of Inflammatory Thyroid Nodules and Thyroid Carcinoma

LIANG Shu-sheng, MO Yong-can. Department of Radiology, Yingde People's Hospital of Guangdong Province, Qingyuan 513000, Guangdong Province, China

[Abstract] Objective To explore the value of CT in the differential diagnosis of inflammatory thyroid nodules and thyroid carcinoma. Methods A total of 12 cases of inflammatory thyroid nodules and 23 cases of thyroid cancer were collected between March 2012 and October 2017, and the morphology, size, edge, position, internal condition, number, calcification, peripheral clearance, lymph node enlargement and density and degree of enhancement of the two types of lesions were analyzed and measured, and the differences of CT manifestations of the two lesions were compared. Results Thyroiditis is more diffuse enlargement, the edge of the nodules are fuzzy, multiple, morphological rules and less calcified or for change, the more bulky calcification, less sac involving spondylolysis, cervical lymph node enlargement is not obvious, much as strengthening and delay strengthening. Thyroid cancer is boundary is not clear, form more irregular, single, fine granular or tip necrosis capsule calcification, see more, less involvement spondylolysis, neck lymph node enlargement, uneven density, strengthening the obvious and uneven, visible "bite of bread" or "contour connection interruption sign" and "islands", etc. Thyroid inflammatory nodules and thyroid cancer lesions were not significantly different in age, gender, edge, lesion maximum diameter(P>0.05). In lesions form, number, cystic change and calcification, isthmus, involvement and cervical lymph node enlargement and the enhancement (evenness) is obviously different, the difference was statistically significant (P<0.05). *Conclusion* CT has high value in the differential diagnosis of inflammatory thyroid nodules and thyroid carcinoma, and it is worth promoting the application in clinical practice.

[Key words] Thyroid Carcinoma; Thyroiditis; Inflammatory Nodules; Tomography; Spiral Computed

临床上甲状腺常见病变有三大类:炎症、增生及肿瘤病变,在此类病变基础上产生的结节分别称为炎症性结节、结节性甲状腺肿及肿瘤结节,其中肿瘤结节常见为甲状腺腺瘤及甲状腺癌。结节性甲状腺肿、腺瘤及甲状腺癌的影像学表现在以往文献中有过不少报道,而甲状腺炎性结节的影像学表现则较少有研究,并且甲状腺炎性病变的临床及影像学表现与甲状腺癌有重叠,易误诊为甲状腺癌,故两者的鉴别诊断显得很有必要,准确诊断则可以避免将炎性结节误诊为癌性病变而进行不必要的手术切除治疗。本研究通过分析甲状腺炎性结节与甲状腺癌的临床资料及影像学表现特点,以提高对此两种病变的CT诊断与鉴别诊断水平,给临床诊治提供一定的指导作用。

1 资料与方法

1.1 一般资料 收集本院2012年3月至2017年10月间行CT检查的甲状腺炎性结节及甲状腺癌病例,筛选标准为: (1)、经手术或穿刺活检后病理证实病例; (2)、经治疗后临床综合诊断得出的病例。最终共纳入35例患者,男性13例,女性22例,年龄(42.89±18.04)岁。其中甲状腺炎性结节12例,包括亚急性甲状腺炎结节8例,桥本甲状腺炎结节

4例。甲状腺癌23例,包括乳头状癌13例,滤泡状癌8例,髓样癌2例。

1.2 检查方法 利用GE LightSpeed VCT 64排螺旋CT对所有病例行颈部平扫加增强扫描,扫描范围自舌骨水平至主动脉弓水平,增强行动脉期及静脉期两期扫描,有需要的病例行延时扫描;CT扫描条件为120kV、180mAs,层厚为5mm,螺距为0.8。所有图像均发送到图像存储与传输系统(PACS)进行阅片分析。

1.3 图像处理及数据记录 由两名医师对所有病例图像进行阅片分析,对甲状腺炎性结节及甲状腺癌两类病变的形态、大小、边缘、位置、结节内部情况、数目、钙化、周围间隙、淋巴结肿大情况和实性部分平扫CT值(CT对脉期(HU))、增强扫描CT值(CT对脉期(HU))、CT静脉期(HU))及强化情况(均匀程度)等,进行分析及测算,记录得出数值,测量CT值时避开囊变区及钙化。有争议病例请示一名主任医师进行裁定得出最后结论。

1.4 数据处理 通过SPSS 19.0统计学软件对甲状腺炎性结节与甲状腺癌病变的临床资料及CT表现征象的差异性进行对比分析,计量资料以 $(\bar{x} \pm s)$ 表示,采用t检验或非参数秩和检验;计数资料以率(%)表示,采用 x^2 检验法;P<0.05为差异有统计学意义。

2 结 果

甲状腺炎性结节12例,多发7例,单发5例,总计25个病灶;病灶最大径(3.11±1.14)cm;18个病灶的形状为规则圆形或类圆形,7个病灶为不规则形;1个病

灶囊性变: 4个病灶平扫边缘清 楚,21个边缘不清楚;23个病灶 增强扫描边缘模糊,2个边缘清 晰, 2个病灶可见"轮廓连线中断 征";1个病灶内见粗大钙化;发 生右侧叶10个,左侧叶8个,峡部 或累及峡部7个。实性部分CT平扫 (37.33±11.85) HU。增强扫描CT 动脉期(55.25±15.77)HU: CT静 脉期(94.25±10.60)HU。轻度强 化8个,中度强化6个,明显强化 11个,均匀强化19个,不均匀强 化6个。5个病灶见延时强化,结 节密度与周围甲状腺实质趋于一 致。2例伴有颈部淋巴结增大,均 表现为均匀强化,边缘模糊,肿 大淋巴结无钙化,见图1-8。

甲状腺癌23例,单发20例, 多发3例,共26个病灶。病灶最大 径(3.23±1.93)cm; 5个病灶呈圆 形或椭圆形,21个病灶为不规则 形。10个病灶囊性变,4个见囊壁 结节: 22个病灶平扫和增强边缘 均不清楚,4个病灶平扫和增强边 缘清楚: 11个病灶可见"轮廓连 线中断征"或"咬饼征",5例病 灶存在侵犯甲状腺周围结构; 10 个病灶含有钙化,其中7个病灶内 见颗粒状钙化,3个病灶内见粗大 钙化。发生右侧叶18个,左侧叶 7个,峡部或累及峡部1个。实性 部分CT平扫(43.78±12.39)HU。 增强扫描CT动脉期83.22±17.96) HU; CT静脉期(104.22±17.84) HU。轻度强化3个,中度强化5 个,明显强化18个,均匀强化5 个,不均匀强化21个。5个病灶见 "孤岛征"。17例伴有颈部淋巴 结肿大,其中3例肿大淋巴结合并 钙化, 见图9-18。

甲状腺炎性结节和甲状腺癌 CT表现比较如表1、2所示,两者 在年龄、性别、边缘、病灶最 大径差异没有统计学意义(P> 0.05)。在病灶形态、数目、囊 变、钙化、峡部累及情况、颈部淋巴结肿大方面及强化情况(均匀程度)等存在明显不同,差异有统计学意义(P<0.05)。

3 讨 论

3.1 甲状腺炎性结节及甲状 **腺癌的病因、病理与临床** 甲状 腺炎性病变有急性甲状腺炎、亚 急性甲状腺炎及慢性甲状腺炎, 其中慢性甲状腺炎又分为慢性淋 巴细胞性甲状腺炎和慢性纤维性 甲状腺炎。亚急性甲状腺炎及桥 本甲状腺炎在病变的后期容易形 成炎性结节, 因其临床表现多样 性而常被误诊^[1],在CT表现与甲 状腺癌亦有交叉,单凭CT表现有 时易误诊[2],加之桥本甲状腺炎 基础上长出的结节癌变较一般的 甲状腺结节高[3],因此甲状腺炎 性结节与甲状腺癌鉴别很重要, 正确诊断对治疗的选择起关键作 用。

亚急性甲状腺炎是一种非化 脓性炎症, 又称肉芽肿性甲状腺 炎、巨细胞性甲状腺炎[4],一般 认为由病毒感染和变态反应引 起, 具有自限性, 临床上好发女 性,发病年龄30-50岁,本组女 性5例, 男性3例, 平均年龄为37 岁,符合文献报道;亚急性甲状 腺炎典型的临床表现为有感冒 史,低热,短期甲状腺肿大触 痛, 部分患者为无痛性炎症, 实 验室检查早期ESR增高,血T3,T4 增高,而血TSH降低,测摄碘率降 至5%~10%以下[5]; 亚急性甲状腺 炎典型的病理表现为腺体内组织 细胞浸润呈肉芽肿型及出现异物 巨细胞, 甚至有假结核结节, 伴 有轻度到中度纤维化, 病变分布 不均匀是其特点[2]。桥本甲状腺 炎是一种自身免疫性疾病,中年 女性是高发性人群[6],本组女性

表1 甲状腺癌组与甲状腺炎性结节组计量资料对比分析

指标	甲状腺炎性结节组	甲状腺癌组	t值/Z值	P值
年龄(岁)	35. 83 ± 13. 86	46. 57 ± 19. 12	-1.717	0. 095
病灶最大径 (cm)	3. 11 ± 1.14	3.23 ± 1.93	-0.104*	0.932

注: *为非参数秩和检验Z值

表2 甲状腺癌组与甲状腺炎性结节组性别与CT征象对比分析(例,%)

指标	类别 甲	甲状腺炎性结节组	甲状腺癌组	x ² 值	P值
	(n=12	例 炎性结节25个)	(n=23例 癌灶26个)		
性别*	男	4 (33.33)	9 (39.13)		1.000
	女	8 (66.67)	14 (60.87)		
病灶形态	圆形/类圆形	18 (72.00)	5 (19.23)	14.334	0.000
	不规则形	7 (28.00)	21 (80.77)		
病灶边缘	清晰	4 (16.00)	4 (15.38)	0.000	1.000
	模糊	21 (84.00)	22 (84.62)		
病灶数目:	* 单发	5 (41.67)	20 (86.96)		0.015
	多发	7 (58.33)	3 (13.04)		
囊变	有	1 (4.00)	10 (38.46)	8.947	0.003
	无	24 (96.00)	16 (61.54)		
钙化	有	1 (4.00)	10 (38.46)	8.947	0.003
	无	24 (96.00)	16 (61.54)		
强化情况	均匀	19 (76.00)	5 (19.23)	16.487	0.000
	不均匀	6 (24.00)	21 (80.77)		
峡部是否	累及*				
	有	7 (58.33)	1 (4.35)		0.001
	无	5 (41.67)	22 (95.65)		
颈部淋巴:	结肿大*				
	有	2 (16.67)	17 (73.91)		0.003
	无	10 (83.33)	6 (26.09)		

注: *为例数, n<40例,资料用Fisher精确检验法

3例, 男性1例, 平均年龄41岁, 临床上桥本甲状腺炎的症状、体 征无特异性, 多以以颈部肿块就 诊,实验室检查TGAb、TPOAb的 增高对本病的诊断具有重要价 值[3]: 桥本甲状腺炎病理上以淋 巴细胞浸润为特征, 伴有滤泡上 皮细胞胞质的嗜酸性变, 桥本病 诊断标准: (1) 弥漫而坚硬的甲状 腺肿大: (2)甲状腺自身抗体阳 性; (3)桥本甲状腺炎病理组织学 特征性改变[7]。甲状腺癌常常发 生于原有甲状腺良性疾病(如结 节性甲状腺肿、甲状腺腺瘤、慢 性淋巴细胞性甲状腺炎等)的基 础上, 在病理类型上以乳头状癌 居首位, 其次是滤泡状癌、髓样 癌,未分化癌最少[8]:临床上患 者常因颈前无痛性肿块就诊,部 分因颈部淋巴结肿大或体检偶然

发现甲状腺结节来诊;甲状腺癌 好发年龄为30-60岁,女性发病率 比男性略高;本组女性14例,男 性9例,平均年龄46岁。

在本组研究病例中,甲状腺炎性结节男性4例,女性8例;甲状腺癌男性9例,女性14例,男、女性发病率无明显统计学差异(P>0.05)。发病年龄,甲状腺炎性结节(35.83±13.86)岁,甲状腺癌为(46.57±19.12)岁,两者无明显统计学差异(P>0.05)。

3.2 甲状腺炎性结节及甲状腺癌的CT征象及鉴别诊断

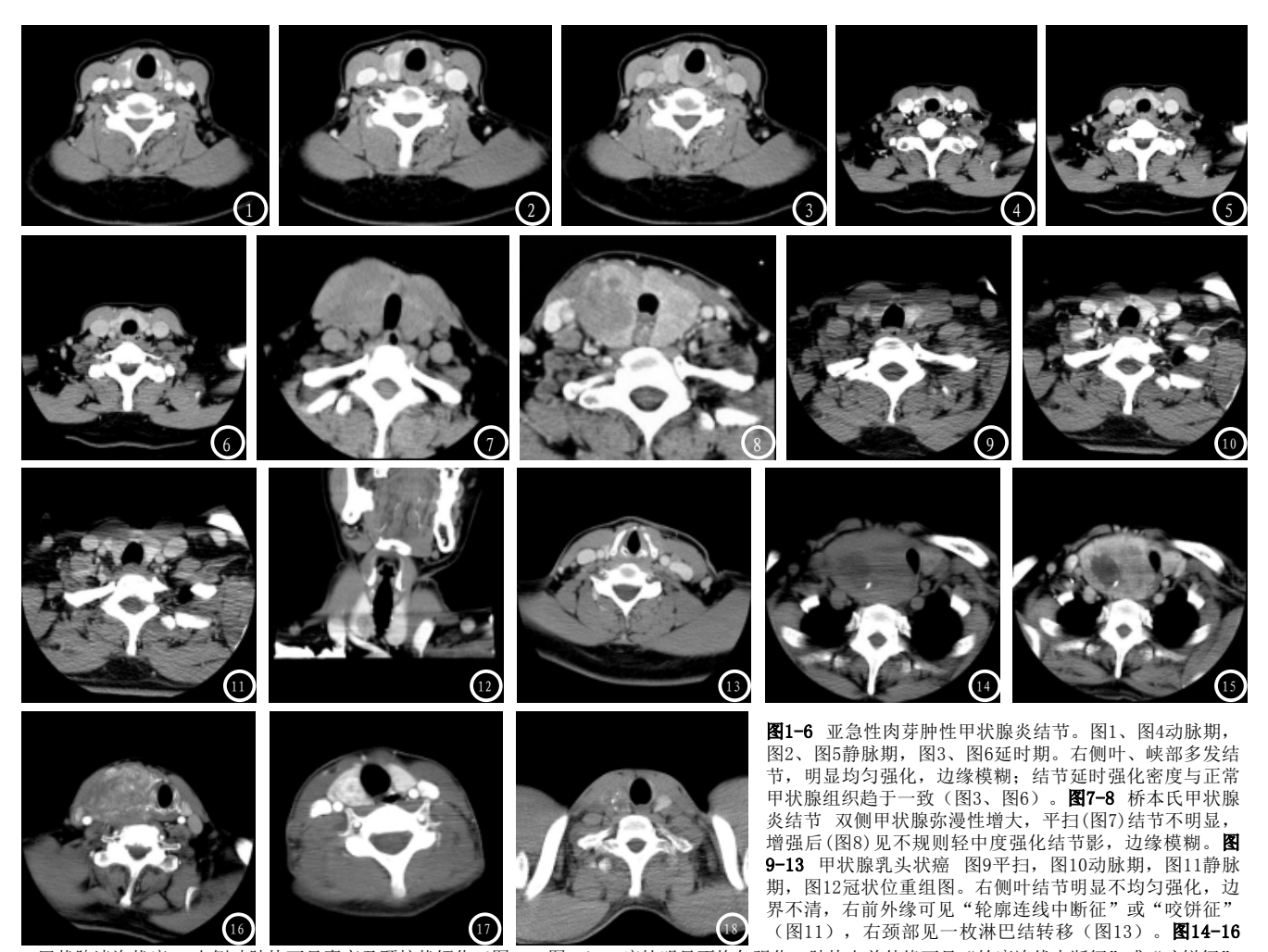
3.2.1 形态:甲状腺炎性结节形态多为圆形或椭圆形,部分病灶呈片团状,显示炎性结节的特点;甲状腺癌多为不规则形,部分突起甲状腺轮廓外,致甲状腺外缘凹凸不平。本组病例中,

甲状腺炎性结节病灶呈圆形或椭圆形18个,不规则形7个。甲状腺癌病灶圆形或椭圆形5个,不规则形21个。两者有明显不同。

3.2.2 边缘: 甲状腺炎性结 节多为边缘模糊, 是炎性浸润的 结果: 部分病程较长者境界显示 清楚, 病理基础可能为病变纤维 组织增生, 而出现不规则纤维包 裹结节所致[9]。甲状腺癌多为边 界不清楚, 病理基础为甲状腺癌 具有恶性肿瘤的生物学行为, 储 碘细胞被破坏, 向四周浸润呈 "蟹足"样生长[10]: 当癌肿位于 甲状腺包膜下时会凸起于甲状腺 外缘, 甲状腺包膜被恶性组织侵 及并穿破,此时常常会形成"轮 廓连线中断征"或局部缺损,在 增强时更容易显示, 文献称之为 瘤周"强化残圈"征[11]、"缺边 征"^[8]、"咬饼征"^[12]。本组病 例中, 甲状腺炎性结节病灶边缘 模糊21个, 边缘清楚4个。甲状腺 癌病灶境界清楚4个,边界不清22 个,形成"轮廓连线中断征"11 个。两者在病灶边缘模糊不清表 现情况上无明显差异, 但甲状腺 癌易引起轮廓连线中断, 此为两 者鉴别诊断要点之一。

3.2.3 病灶最大径、病灶数目:甲状腺炎性结节与甲状腺癌大小上无明显差异,两组病例最大宽径值对比分析无统计学意义;但在病灶数目上,甲状腺炎性结节多为多发,甲状腺癌单发多见,本组病例中,甲状腺炎性结节多发5例,单发7例;甲状腺癌单发20例,多发者3例;两者有差异。

3.2.4 密度、囊变、钙化情况:甲状腺炎性结节与甲状腺癌平扫均以低密度为主,CT值分别为25-66HU、27-67HU,部分病灶为等密度,增强后方显示出病灶。两者平扫时多表现为低密度



甲状腺滤泡状癌 右侧叶肿块可见囊变及颗粒状钙化(图14、图15),病灶明显不均匀强化,肿块右前外缘可见"轮廓连线中断征"或"咬饼征"(图16)。**图17** 甲状腺乳头状癌。右侧叶明显强化结节,周围见环形低密度影("孤岛征")。**图18** 甲状腺乳头状癌。右侧叶结节内见多发细颗粒状钙化。

病灶, 但病理上机制不同, 炎性 结节呈低密度是由于病灶组织细 胞增生变性及纤维化有关, 而甲 状腺癌呈低密度多是由于病灶血 管内癌栓形成导致肿瘤组织缺血 坏死所致[13]。甲状腺炎性结节少 见囊变,本组的甲状腺炎性结节 病例中,仅有1例。甲状腺癌的囊 变常见,并可见不规则壁结节, 其病理基础为甲状腺癌于血管内 癌栓造成瘤内不规则坏死与尚存 血供的瘤组织混合存在, 而形成 囊内壁结节所致[10]。甲状腺病变 内出现囊变伴有明显强化的乳头 状结节[14],或呈"半岛状"[15], 此时首先要考虑为甲状腺癌。本 组的甲状腺癌病例中囊变病灶10 个,囊变并壁结节4个。甲状腺 炎性结节少见钙化, 本组的甲状 腺炎性结节病例中,只有1例见钙化,且为短条状粗大钙化。甲状腺癌的钙化多为细颗粒状或针尖样钙化,微钙化被认为是甲状腺癌的标志性特点^[16],本组病例中,此类钙化有7个(占7/10)。甲状腺炎性结节与甲状腺癌在囊变、钙化情况,两者有明显不同。

3.2.5 强化特点:甲状腺炎性结节多为动脉期常为均匀轻中度或明显均匀强化,静脉期及延时持续强化而使病灶与正常甲状腺组织密度差降低,部分结节延时扫描密度与周围正常甲状腺组织趋于一致。甲状腺癌多为动脉期明显不均匀强化,延时扫描癌结节密度降低。两者强化特点有明显差

别,在强化情况(均匀程度)方面 差异有统计学意义。其病理基础 是甲状腺炎性结节为炎症性病 变,为多量中性粒细胞及嗜酸性 粒细胞、淋巴细胞和浆细胞浸 润,间质纤维组织增生,多核巨 细胞和肉芽肿改变[4,17],结节病 灶血管较少,缺乏恶性表现,强 化相对轻且均匀,延时造影剂滞 留时间相对长。本组甲状腺炎性 结节病例中,均匀强化19例,不 均匀强化6例,有1例的两个结节 灶延时扫描时结节消失, 说明均 匀、延时强化可能为甲状腺炎性 结节的特征之一。而甲状腺癌异 常血管多且不规则,容易出血、 坏死,强化明显且不均匀;部分 病灶内见明显强化肿瘤结节, 周围环绕环形低密度影, 文献

称之为"镶嵌征"^[18]、"晕圈征"^[19]、"孤岛征"^[8]。本组甲状腺癌病例中,明显不均匀强有21个病灶,均匀强化5个,其中呈"孤岛征"强化病灶5个,均匀强化病灶体积均较小,可能与其出血、坏死少有关。

3.2.6 峡部累及情况:甲状腺炎性结节多发,故常见累及峡部,这与炎性病变病理上通常累及整个腺体,呈弥漫性肿大有关,肿大的甲状腺内可较广泛性形成炎性结节而致分布位置较广;本组病例中,炎性结节发生在峡部或累及峡部的有7例(7/12,58.33%)。甲状腺癌通常好发左、右侧叶,峡部少见,本组病例中只有1例发生在峡部或界及中人有1例发生在峡部或界及峡部的比例(3/47)相仿。

3.2.7 颈部淋巴结肿大情 况 甲状腺炎性结节引起颈部淋巴 结肿大较少,本组病例中仅有2 例,在IV区,增大的淋巴结边缘 较模糊, 反映为淋巴结炎症性增 大。甲状腺癌容易引起淋巴结肿 大转移, 是判断甲状腺恶性病变 的重要依据,本组甲状腺癌病例 中发生颈部淋巴结肿大的有17例 (17/23, 73.91%); 甲状腺癌颈部 转移性肿大淋巴结的分布具有较 明显的特征性,好发于颈内静脉 周围的II、III、IV和VI区,但以 位于颈内静脉周围的IV、VI区最 多见[20]。本组病例中,甲状腺癌 颈部淋巴结肿大分布为 II 区 2 例, III区3例, IV区7例, VI区5例, 与 文献报道相一致; 部分肿大淋巴 结见囊变及钙化。

综上所述, 甲状腺炎多有弥

漫性体积肿大,其炎性结节边缘 模糊、多发、形态规则、少钙化 或为粗大钙化、少囊变、多累及 峡部、颈部淋巴结肿大。甲状及 强化均匀且延时强化。甲状腺 多为边界不清或针尖样钙化。 多为边界不清或针尖样钙化。 发、环观囊变、少累及峡部、 强化 切累变、密度不均匀。 "轮票连线中断征"或"独岛 证"等。CT在甲状腺炎性结节的 恒。

参考文献

- [1] 刘权, 彭卫军, 唐峰. 亚急性甲状腺炎的CT诊断[J]. 中国医学计算机成像杂志, 2006, 12(4): 236-239.
- [2] 张晓东, 唐秉航, 杨建勇. 亚急性肉芽肿性甲状腺炎的CT表现[J]. 临床放射学杂志, 2008, 27(8): 1017-1019.
- [3] 杨传盛, 黄湛, 王美姣, 等. 415例结节型桥本氏甲状腺炎的诊断和外科治疗的经验和教训[J]. 岭南现代临床外科, 2016, 16 (1): 60-62.
- [4] 王连唐. 病理学 [M]. 北京: 高等教育 出版社, 2008: 272.
- [5] 舒荣宝. CT对亚急性甲状腺炎的诊断价值[J]. 罕少疾病杂志, 2009, 16(2): 35-38.
- [6] 张淋淋. 超声与CT在桥本氏甲状腺炎 诊断中的应用[J]. 中国CT和MRI杂 志, 2015, 13(12): 57-59.
- [7] 顾立军,韩本谊,冀星华.慢性淋巴细胞性甲状腺炎的MSCT诊断[J].中国医学计算机成像杂志,2012,18(3):2010-204.
- [8] 张伟强, 江明祥, 邵国良, 等. 小甲状腺癌的CT表现分析[J]. 医学影像学杂志, 2016, 26(3): 398-402.
- [9] 何磊, 贾秀川, 陈英敏, 等. 结节性桥本氏甲状腺炎的MSCT诊断价值[J]. 临床放射学杂志, 2015, 34 (11): 1734-1737.
- [10] 莫洪波, 覃天, 赖伟坚, 等. 45例甲状腺癌MSCT误诊、漏诊原因分析[J].

- 临床放射学杂志, 2015, 34(5): 702-705.
- [11] 谢榜昆,关玉宝,袁小平,等.甲状腺癌的CT表现与病理相关性研究[J]. 癌症.2003.22(2):192-197.
- [12] 瞿佳丽,朱妙平,韩志江.各种CT征 象联合应用在甲状腺微小乳头状癌 诊断中的价值[J].影像诊断与介入 放射学,2015,24(2):151-155.
- [13] 佟桂玲, 赵宝英, 王宇, 等. 多层螺旋 CT在甲状腺癌和甲状腺腺瘤鉴别诊断中的价值[J]. 现代肿瘤医学, 2017, 25(11): 1790-1795.
- [14] 韩本谊, 顾立军, 赵亚娥, 等. 甲状腺癌多排螺旋 CT诊断及鉴别诊断 [J]. 中国医学影像学杂志, 2011, 19 (10): 749-752.
- [15] 陈军, 王富华, 王育林, 等. 1120例甲 状腺癌合并甲状腺疾病的病例分析 [J]. 重庆医学, 2014, 43(1): 50-52.
- [16] 杜秀琴, 王峰, 孙勇, 等. CT检查对甲 状腺结节的诊断价值[J]. 中国基层 医药, 2015, 22(7): 1090-1091.
- [17] 周永, 阿里甫, 文智, 等. 亚急性甲状腺炎的CT诊断价值[J]. 临床放射学杂志, 2013, 32(1): 46-50.
- [18] 俞炎平, 邝平定, 张亮, 等. 小甲状腺癌的CT表现分析[J]. 中华放射学杂志, 2010, 44(10): 1049-1053.
- [19] 谭红娜, 顾雅佳, 彭卫军, 等. 甲状腺乳头状癌的 CT表现与病理对照分析 [J]. 中华放射学杂志, 2009, 43(8): 799-804.
- [20] 边学,徐震纲,张彬,等.分化型甲状腺癌的颈淋巴结转移规律[J].中华耳鼻咽喉头颈外科杂志,2006,41(7):599-602.

(本文编辑: 刘龙平)

【收稿日期】2017-12-11